

AVALIAÇÃO DA EFICÁCIA E PRATICABILIDADE AGRONÔMICOS DE DIFERENTES
FUNGICIDA NA SEGUNDA APLICAÇÃO NO CONTROLE DE *Corynespora cassiicola* E
Cercospora kikuchii NA CULTURA DA SOJA (*Glycine max*) NA SAFRA 2022/23 NAS
CONDIÇÕES DE MATO GROSSO DO SUL

Protocolo: FMS/FP 4178/22

Responsável Técnico: Eng. Agr. Dra. Ana
Claudia Ruschel Mochko (CREA 65838/MS).
Pesquisadora da FUNDAÇÃO MS.

Maracaju, MS
Abril de 2023

LAUDO TÉCNICO DE EXPERIMENTAÇÃO AGRÍCOLA

AVALIAÇÃO DA EFICÁCIA E PRATICABILIDADE AGRONÔMICOS DE DIFERENTES FUNGICIDA NA SEGUNDA APLICAÇÃO NO CONTROLE DE *Corynespora cassiicola* E *Cercospora kikuchii* NA CULTURA DA SOJA (*Glycine max*) NA SAFRA 2022/23 NAS CONDIÇÕES DE MATO GROSSO DO SUL

PROTOCOLO: FMS/FP 4178/22

INSTITUIÇÃO EXECUTORA: Fundação MS para Pesquisa e Difusão de Tecnologias Agropecuárias, inscrita no CNPJ/MF sob o nº. 37.213.139/0001-23, com sede na Cidade de Maracaju, Estado de Mato Grosso do Sul, na Estrada da Usina Velha, km 2, Caixa Postal 137, CEP 79.150-000.

EMPRESA REQUERENTE: Fundação MS

AUTORES: Eng^a. Agr^a. Dra. Ana Claudia Ruschel Mochko e Eng^a. Agr^a Natália Patrícia Ungri

OBJETIVOS: O objetivo do presente trabalho foi avaliar a eficácia e a praticabilidade agronômica do posicionamento de diferentes fungicidas na segunda aplicação, no controle da mancha-alvo (*Corynespora cassiicola*) e das doenças de final de ciclo (*Cercospora kikuchii* e *Septoria glycines*) na cultura de soja (*Glycine max*), em condições de campo, além de registrar possíveis efeitos de fitotoxicidade à referida cultura e o rendimento de grãos.

INTRODUÇÃO

A soja (*Glycine max* (L.) Merril) é uma leguminosa pertencente à família Fabaceae, sendo o grão mais consumido no mundo, tanto para a alimentação humana e animal, quanto para produção de biocombustíveis, além de inúmeras outras opções como a produção de cosméticos, tintas, adesivos, fibras e plásticos (SOSA-GÓMEZ, et al., 2014).

As condições de clima e solo encontradas no Brasil, fez com que o país se tornasse líder na produção mundial do grão, com estimativa de produção de 312,2 milhões de toneladas na safra 2022/23, cerca de 15% a mais que a safra anterior (CONAB, 2022).

Mesmo com números tão impressionantes, o cultivo de soja no Brasil ainda apresenta fatores limitantes quanto a exploração do máximo potencial de produtividade, sendo que um destes principais fatores é a ocorrência de doenças causadas por fungos, bactérias, vírus e nematoides, os quais podem ocorrer durante todo o ciclo da cultura (BENDER, et al., 2019). Na região centro-oeste, dentre as inúmeras doenças que podem acometer a cultura da soja, a mancha-alvo e as doenças de final de ciclo como o crestamento foliar de cercospora e a mancha-parda vem preocupando os produtores, uma vez que tem ocorrido com maior intensidade na região, devido às condições climáticas e sistemas de cultivos utilizados (LEMES, et al., 2015).

A mancha-alvo possui como agente causal o fungo *Corynespora cassiicola* (Berk. & Curt.) Wei, o qual pode acometer a cultura durante todo seu ciclo de desenvolvimento, com ocorrência mais frequente a partir da fase R1, no início do florescimento, conforme escala de Fehr & Caviness (1977), sendo que os principais sintomas podem ser notados por toda a planta, predominando nas folhas do baixo. São observadas pequenas lesões circulares, apresentando halos cloróticos, evoluindo para coloração castanho-avermelhado e halos amarelos e por fim torna-se uma lesão castanho-claro com anéis concêntricos e pontuação no centro (HENNING, et al., 2014) (Figura 1).

Outras doenças preocupantes durante o cultivo da soja, são as chamadas doenças de final de ciclo (DFC'S), no qual está incluso, segundo Lemes et al. (2015) o crestamento foliar de cercospora, o qual tem como agente causal várias espécies do gênero *Cercospora*, sendo a espécie *Cercospora kikuchii* (Matsu & Tomoyasu) Gardner a mais relatada causando doença na cultura, que pode acometer todas as partes da planta, inclusive os grãos, causando a mancha-púrpura (HENNING, et al., 2014).

Os principais sintomas observados na incidência de cercospora nas plantas são pequenas pontuações de coloração castanho-avermelhada nas folhas e hastes, onde, ao coalescerem, resultam

no crestamento e desfolha precoce, já nas sementes, seu sintoma é facilmente identificado devido a ocorrência de manchas de coloração púrpura (HENNING, et al., 2014) (Figura 1).

Tais doenças causam inúmeras perdas ao produtor, uma vez que, causam desfolha precoce, trazendo prejuízos no quesito quantitativo e qualitativo dos grãos, sendo necessário a adoção de medidas preventivas e de controle de doenças.

Dentre as possíveis medidas de controle existentes, podem ser citados a rotação de culturas, controle genético, devendo-se priorizar o plantio de cultivares resistentes, controle biológico e a utilização do controle químico com fungicidas sítio-específico e multissítio, durante os diferentes estágios de desenvolvimento da cultura (KAIJHARA, et al., 2022).

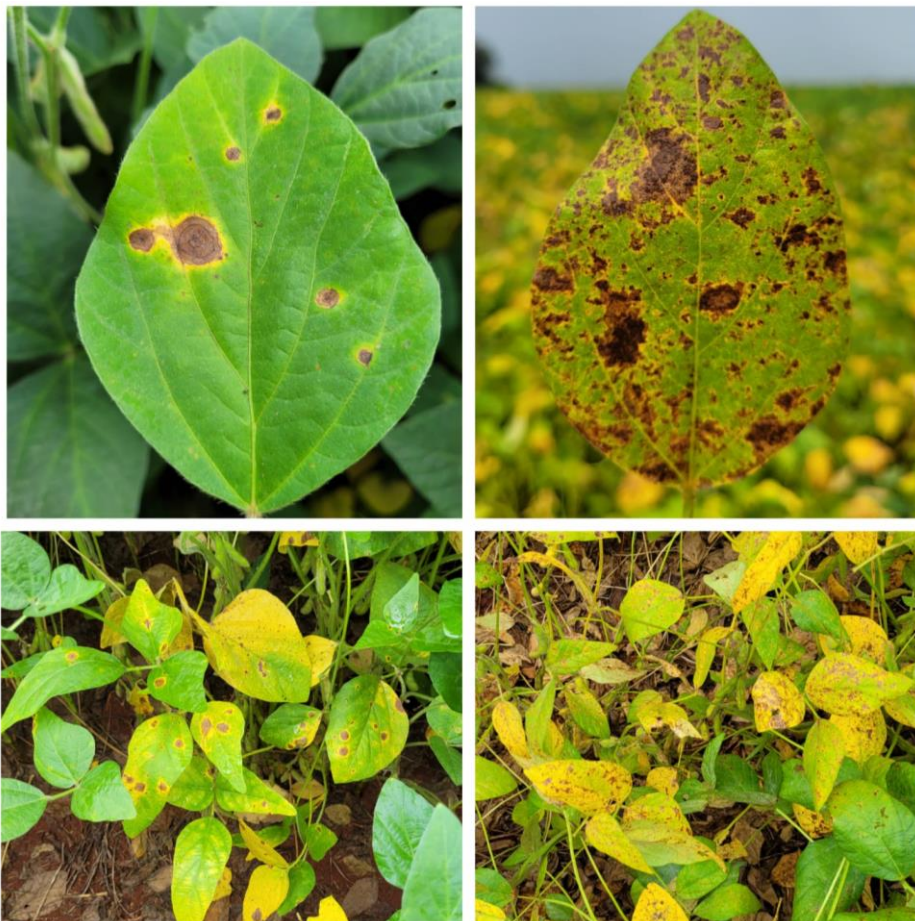


Figura 1. Sintomas de mancha-alvo (esquerda) e de crestamento foliar de cercospora (direita).

MATERIAL E MÉTODOS

Local e data

O experimento foi conduzido em condições de campo, na área experimental da Fundação MS, localizada na Rodovia BR 267, s/n, Faz. Alegria (Talhão Rebaixadora), Zona Rural, 79150-000

no município de Maracaju-MS, tendo como coordenadas 21°38'48.05"S e 55°05'53.52"O, e altitude de 384 metros.

Variedade, semeadura, sistema de cultivo e dados climáticos

Utilizou-se a cultivar Braxmax Garra, sendo que este material é recomendado para cultivo na região. A cultura foi estabelecida em sistema de semeadura de plantio direto. A semeadura foi realizada no dia 12 de novembro de 2022, a germinação ocorreu em 17 de novembro de 2022 e a colheita no dia 23 de março de 2023.

Os dados climáticos, como índices pluviométricos, temperaturas (máxima e mínima) e umidade relativa do ar registrados na área experimental, durante a condução do ensaio, podem ser visualizados no gráfico abaixo:

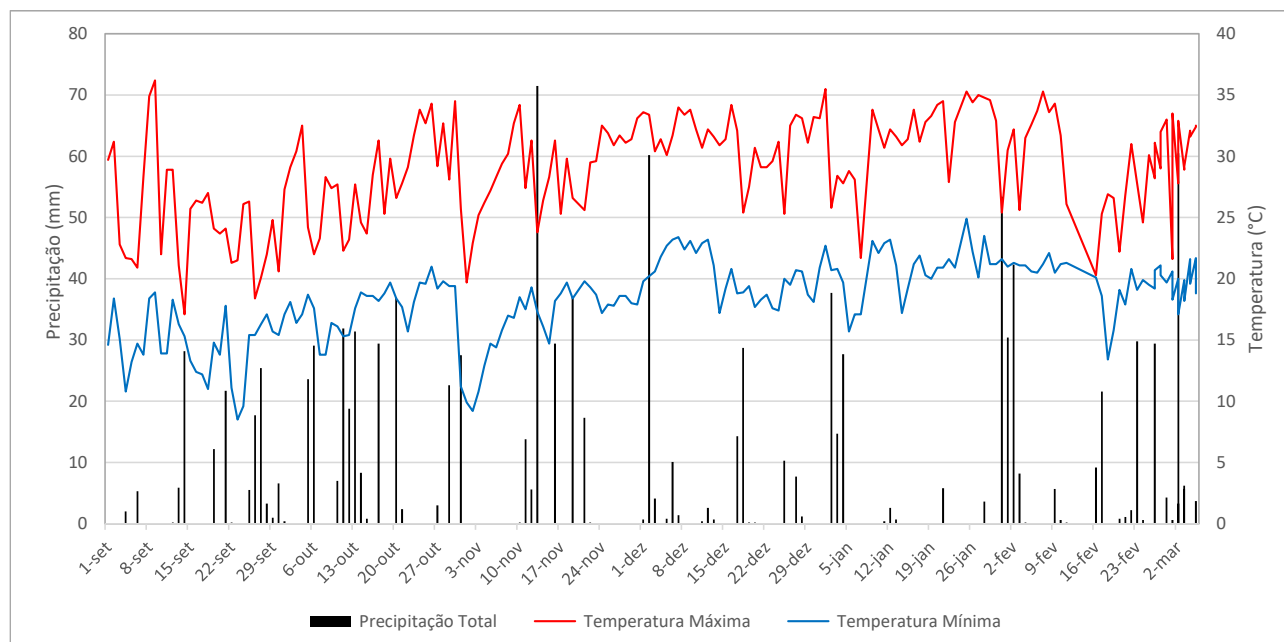


Figura 2. Variáveis climáticas como precipitação, temperatura máxima e mínima, bem como a temperatura registradas durante o desenvolvimento do experimento. Maracaju, MS, 2023.

Tecnologia de aplicação (barra, espaçamento entre bicos, volume de calda e pressão)

Para aplicação dos tratamentos, utilizou-se pulverizador costal de pressão constante (CO_2) equipado com uma barra de 3,0 m e com 6 pontas de jato duplo leque, modelo TJ 110.02, espaçadas de 50 cm. O volume de calda de 120 L.ha^{-1} foi mantido à pressão constante de 50 psi.

Condições climáticas, data e momento das aplicações

Durante as aplicações, as condições climáticas se apresentavam normais, com boa umidade no solo. A umidade relativa do ar, a temperatura, os horários, a nebulosidade e a velocidade de vento no momento das aplicações estão apresentadas a seguir:

Tabela 2. Data de aplicação, estádio de desenvolvimento da cultura da soja, bem como as condições climáticas no momento das pulverizações. Maracaju, MS, 2023.

| Data | Estádio | Horário (início) | Horário (final) | Temp. (°C) |
|------------|-------------|------------------|-----------------|------------|
| 27/12/2022 | Vegetativo | 08:28 h | 08:40 h | 27 |
| 11/01/2023 | Reprodutivo | 08:55 h | 08:59 h | 25,7 |
| 25/01/2023 | Reprodutivo | 09:35 h | 09:48 h | 28,7 |

¹Umidade Relativa do Ar

Aplicações de produtos fitossanitários para manutenção da cultura da soja

Na descrição abaixo, é possível verificar os produtos fitossanitários utilizados no decorrer do ciclo da cultura da soja, a fim de garantir a sanidade da lavoura bem como a manutenção de seu potencial produtivo (Tabela 3).

Tabela 3. Produtos fitossanitários utilizados, alvo biológico, dose empregada e estádio fenológico da cultura no momento da aplicação. Maracaju, MS, 2023.

| Produto Comercial | Dose | Estádio Fenológico |
|-------------------|------|--------------------------|
| Standak Top | 100 | Tratamento de Sementes |
| Verango Prime | 300 | Sulco de plantio |
| Lannate | 1000 | Vegetativo e Reprodutivo |
| Abadim | 300 | Vegetativo |
| Premio | 150 | Vegetativo |
| TrincaCaps | 200 | Vegetativo |
| Pirate | 1000 | Vegetativo e Reprodutivo |
| Imidacropid | 250 | Reprodutivo |
| Acefato | 1000 | Reprodutivo |
| Prêmio | 120 | Vegetativo e Reprodutivo |
| Curbix | 1000 | Reprodutivo |
| Trivor | 400 | Vegetativo e Reprodutivo |
| Zeus | 500 | Reprodutivo |

Dimensão das parcelas, espaçamento e densidade

O experimento foi conduzido com delineamento em blocos casualizados, com dez tratamentos e quatro repetições. As parcelas experimentais foram constituídas de 2,5 metros de

largura por 6 metros de comprimento, totalizando 15 m². A semeadura foi realizada com espaçamento de 50 cm entre linhas e densidade de 13 plantas/metro linear.

Tratamentos

Tabela 1. Descrição dos tratamentos.

| T. | PRODUTOS | I.A. | DOSE | COD. DA APLICAÇÃO |
|----|---------------|---|------------|-------------------|
| 1 | Testemunha | | | |
| 2 | Fox Xpro | Bixafem + Protoconazol + Trifloxistrobina | 500 mL.ha | A |
| | Aureo | Ester Metílico De Óleo De Soja | 0,25 % | A |
| | Unizeb Gold | Mancozebe | 1.500 g.ha | AB |
| | Ativum | Epoxiconazol + Fluxapiroxade + Piraclostrobina | 800 mL.ha | B |
| | Mess | Ester Metílico De Óleo De Soja | 0,25 % | B |
| | Aproach Power | Picoxistrobina + Ciproconazol | 600 mL.ha | C |
| 3 | Fox Xpro | Bixafem + Protoconazol + Trifloxistrobina | 500 mL.ha | A |
| | Aureo | Ester Metílico De Óleo De Soja | 0,25 % | AB |
| | Unizeb Gold | Mancozebe | 1.500 g.ha | AB |
| | Fox Supra | Protoconazol + Impirfluxam | 350 mL.ha | B |
| | Aproach Power | Picoxistrobina + Ciproconazol | 600 mL.ha | C |
| 4 | Fox Xpro | Bixafem + Protoconazol + Trifloxistrobina | 500 mL.ha | A |
| | Aureo | Ester Metílico De Óleo De Soja | 0,25 % | A |
| | Unizeb Gold | Mancozebe | 1.500 g.ha | AB |
| | Excalia Max | Tebuconazol + Impirfluxam | 500 mL.ha | B |
| | Aproach Power | Picoxistrobina + Ciproconazol | 600 mL.ha | C |
| | Agris | Óleo Mineral | 500 mL.ha | B |
| 5 | Fox Xpro | Bixafem + Protoconazol + Trifloxistrobina | 500 mL.ha | A |
| | Aureo | Ester Metílico De Óleo De Soja | 0,25 % | A |
| | Unizeb Gold | Mancozebe | 1.500 g.ha | AB |
| | Alade | Benzovindiflupyr + Ciproconazol + Difenoconazol | 500 mL.ha | B |
| | Aproach Power | Picoxistrobina + Ciproconazol | 600 mL.ha | C |
| 6 | Fox Xpro | Bixafem + Protoconazol + Trifloxistrobina | 500 mL.ha | A |
| | Aureo | Ester Metílico De Óleo De Soja | 0,25 % | A |
| | Unizeb Gold | Mancozebe | 1.500 g.ha | AB |
| | Vessarya | Benzovindiflupyr + Picoxistrobina | 600 mL.ha | B |
| | Aproach Power | Picoxistrobina + Ciproconazol | 600 mL.ha | C |
| 7 | Fox Xpro | Bixafem + Protoconazol + Trifloxistrobina | 500 mL.ha | A |
| | Aureo | Ester Metílico De Óleo De Soja | 0,25 % | A |
| | Unizeb Gold | Mancozebe | 1.500 g.ha | A |
| | Tridium | Azoxistrobina + Mancozebe + Tebuconazol | 2.000 g.ha | B |
| | Aproach Power | Picoxistrobina + Ciproconazol | 600 mL.ha | C |
| 8 | Fox Xpro | Bixafem + Protoconazol + Trifloxistrobina | 500 mL.ha | A |
| | Aureo | Ester Metílico De Óleo De Soja | 0,25 % | A |
| | Unizeb Gold | Mancozebe | 1.500 g.ha | A |
| | Fusão EC | Metominostrobin + Tebuconazol | 580 g.ha | B |
| | Aproach Power | Picoxistrobina + Ciproconazol | 600 mL.ha | C |
| | Iharol gold | | 0,25 % | B |
| 9 | Fox Xpro | Bixafem + Protoconazol + Trifloxistrobina | 500 mL.ha | A |

| | | | | |
|----|---------------|--|------------|----|
| | Aureo | Ester Metílico De Óleo De Soja | 0,25 % | A |
| | Unizeb Gold | Mancozebe | 1.500 g.ha | AB |
| | Belyan | Mefentrifluconazol + Fluxapiroxade + Piraclostrobina | 600 mL.ha | B |
| | Mess | Ester Metílico De Óleo De Soja | 0,25 % | B |
| | Aproach Power | Picoxistrobina + Ciproconazol | 600 mL.ha | C |
| 10 | Fox Xpro | Bixafem + Protoconazol + Trifloxistrobina | 500 mL.ha | A |
| | Aureo | Ester Metílico De Óleo De Soja | 0,25 % | A |
| | Unizeb Gold | Mancozebe | 1.500 g.ha | AB |
| | Orkestra SC | fluxapiroxade + piraclostrobina | 350 mL.ha | B |
| | Mess | ester Metílico de óleo de Soja | 0,25 % | B |
| | Aproach Power | Picoxistrobina + ciproconazol | 600 mL.ha | C |

¹Aplicação A: 40 DAE (dias após emergência), B: 55 DAE, C: 70 DAE

Método de avaliação

Durante a condução do experimento realizou-se dez avaliações de severidade da doença, em estádios distintos de desenvolvimento da cultura. A primeira avaliação foi realizada na prévia da aplicação, e posteriormente, aos 7 e 14 dias após cada aplicação, e aos 7, 14, 21 e 28 dias após a última aplicação. A avaliação da severidade da mancha-alvo (porcentagem de área foliar com sintomas) das parcelas foi estimada com auxílio de escala diagramática descrita por Soares (2009) (Figura 3) e a escala proposta por Martins et al. (2004), para a avaliação das doenças de final de ciclo (Figura 4).

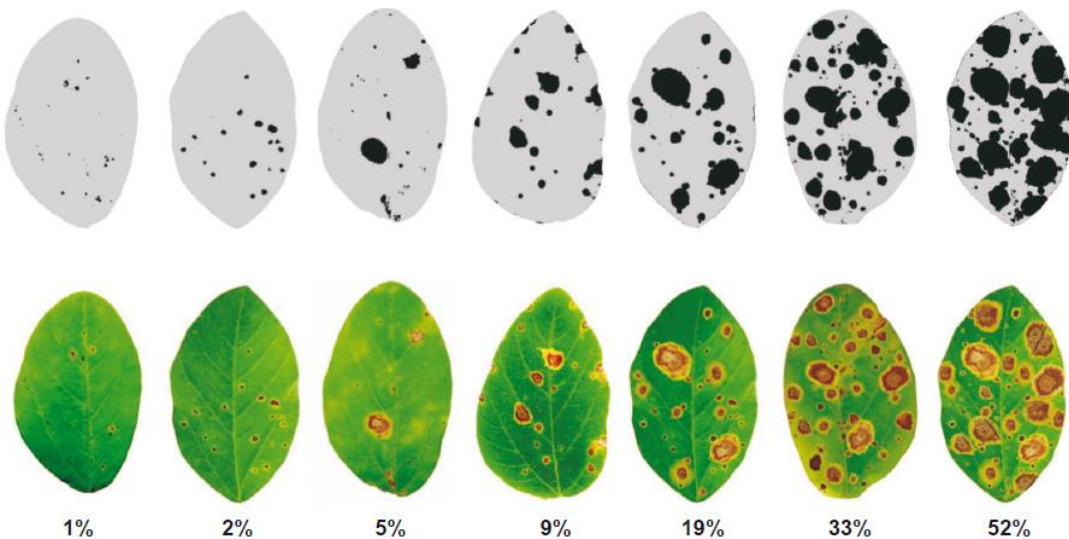


Figura 3. Escala diagramática para a avaliação de severidade de mancha-alvo em soja (Soares et al., 2009)

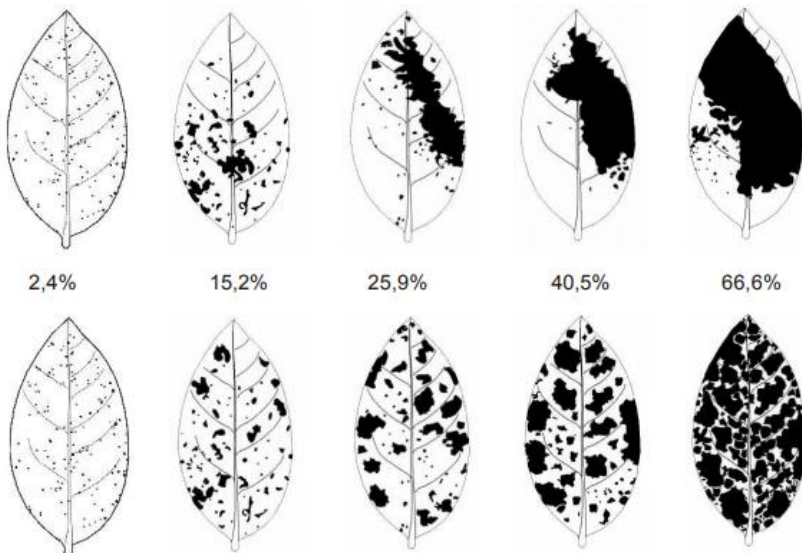


Figura 4. Escala diagramática das doenças de final de ciclo da soja causadas por *Septoria glycines* e *Cercospora kikuchii*. Painel superior: Sintomas agregados. Painel inferior: sintomas aleatoriamente distribuídos (Martins et al., 2004).

A severidade da doença resulta do tamanho e número de lesões, sendo que estes dois componentes podem atuar de formas independentes durante o progresso da doença (Kranz 1988; Boff et al. 1991). Além disso, a melhor representação de uma epidemia é a curva de progresso da doença, geralmente expressa plotando-se a proporção de doença em função do tempo (Paula e Oliveira 2003). Desta forma, os dados de severidade foram utilizados para o cálculo da área abaixo da curva de progresso da doença (AACPD) baseado no modelo proposto por Campbell e Madden (1990), em que:

$$AACPD = \sum_{i=1}^{n-1} \frac{(Y_i + Y_{i+1})}{2} (t_{i+1} - t_i)$$

Onde n é o número de avaliações, y a severidade da doença e t é o tempo em dias de cada avaliação.

Com base nos dados obtidos da severidade de doença na área experimental, foi calculada a eficiência de controle de cada tratamento segundo método proposto por Abbott (1925), em que:

$$E(\%) = \frac{(T - t)100}{T}$$

Onde E (%) é a eficiência de controle do tratamento expressa em porcentagem, T é o valor da AACPD na testemunha, e t é o valor da AACPD no tratamento avaliado.

A fitotoxicidade dos produtos aplicados sobre a cultura foi avaliada visualmente no mesmo momento das avaliações de severidade da doença, sendo realizadas observações nas folhas das plantas, com a finalidade de registrar possíveis ocorrências de sintomas de injúrias. Foram atribuídas notas de acordo com a escala descritiva e diagramática proposta por Campo e Silva (2012) em função da clorose observada nos diferentes tratamentos (Tabela 4 e Figura 5).

Tabela 3. Escala descritiva e diagramática para avaliação de fitotoxicidade em função da intensidade de bronzeamentos, cloroses e necroses foliares causadas por fungicidas em soja. (Campos et al., 2012).

| Nota | Descrição |
|------|--|
| 0 | AUSÊNCIA DE FITOTOXIDEZ; |
| 1 | MUITO LEVE: até 10% da área foliar com presença de cloroses ou bronzeamento; |
| 2 | MEDIANAMENTE LEVE: entre 11 a 25% da área foliar com presença de cloroses ou bronzeamento; |
| 3 | LEVE: entre 11 e 25% da área foliar com presença de cloroses ou bronzeamento e com necroses; |
| 4 | MEDIANAMENTE FORTE: entre 25% e 50% de área foliar afetada e com presença de necroses; |
| 5 | FORTE: entre 50% e 75% da área foliar afetada e com presença de necroses pronunciadas; |
| 6 | MUITO FORTE: mais de 75% de área foliar afetada e com presença de necroses pronunciadas; |
| 7 | EXTREMAMENTE FORTE: seca total do folíolo afetado; |

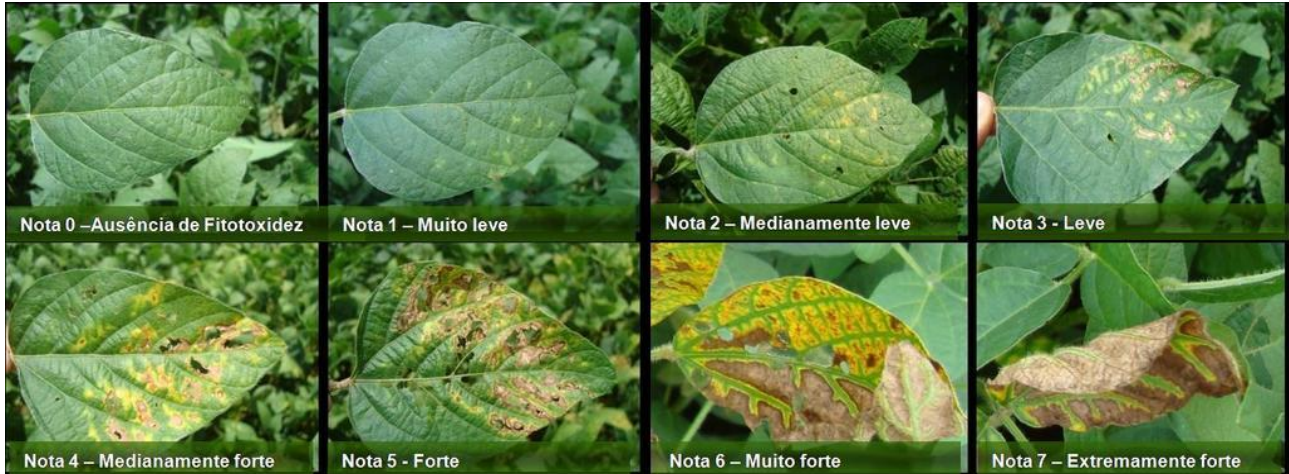


Figura 5. Escalas descritiva e diagramática para avaliação de fitotoxicidade em função da intensidade de bronzeamentos, cloroses e necroses foliares causadas por fungicidas em soja (Campos e Silva 2012).

A avaliação da desfolha nos tratamentos foi realizada visualmente a partir do momento em que a testemunha apresentava desfolha próxima a 80%, com auxílio da escala diagramática descrita por Hirano et al. (2010).

O rendimento de grãos foi obtido pela colheita da área útil de cada parcela, que correspondeu a $5,4 \text{ m}^2$ (3 linhas x 4 metros), convertendo-se para kg.ha^{-1} a 13% de umidade. As

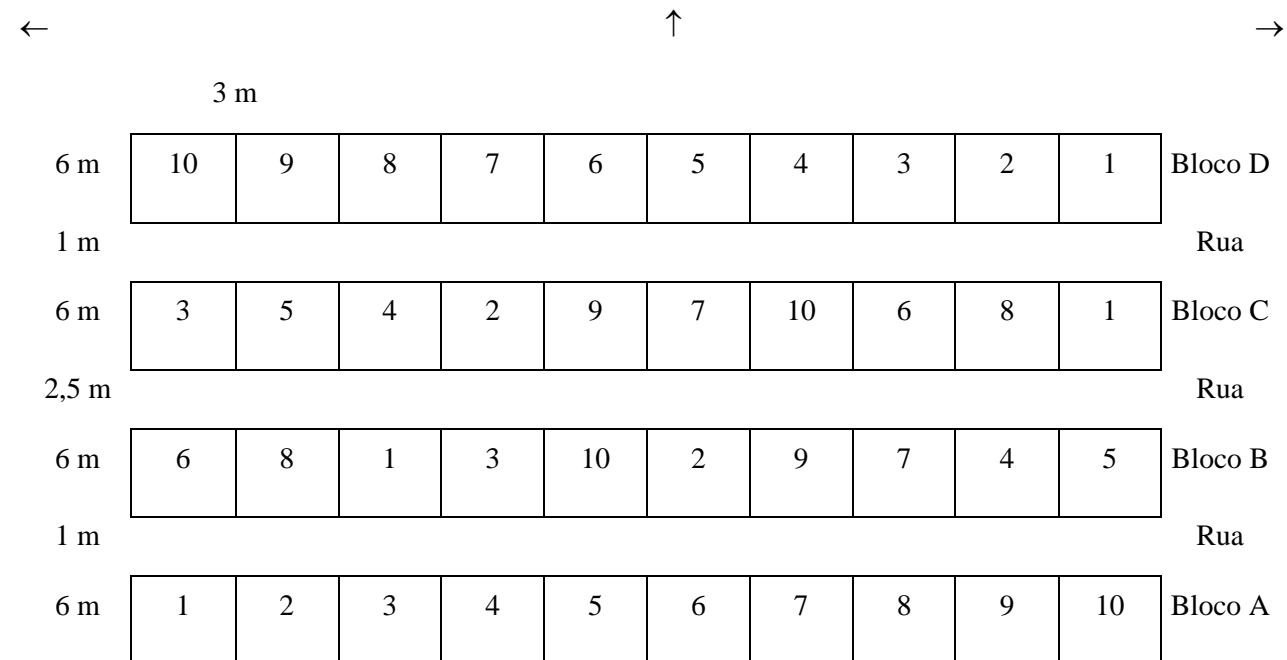
parcelas foram colhidas mecanicamente com colhedora de parcelas automotriz. A massa de mil grãos foi avaliada realizando-se a contagem dos grãos em contador automático e pesagem em balança de precisão, ajustando-se a umidade para 13%, umidade esta que foi mensurada através de determinador portátil. Para a correção da umidade dos grãos utilizou-se a fórmula abaixo:

$$Rendimento = \frac{10 \times (100 - US) \times PP}{(100 - 13) \times AC}$$

Onde rendimento é expresso em toneladas por hectare, US é a umidade da semente em %, PP é o peso colhido na parcela em kg, e AC é a área colhida da parcela em m².

Os dados foram analisados utilizando-se o software estatístico SASM — Agri versão 8.2, Sistema para Análise e Separação de Médias em Experimentos Agrícolas (CANTERI, et al. 2001), sem transformação e as médias comparadas através do teste de Duncan a 5% de probabilidade.

Croqui do experimento



Área da parcela: 3 m x 6 m = 18 m²

Área do bloco: 6 m x 33 m = 198 m²

Área do experimento: 33 m x 34,5 m = 1138,5 m²

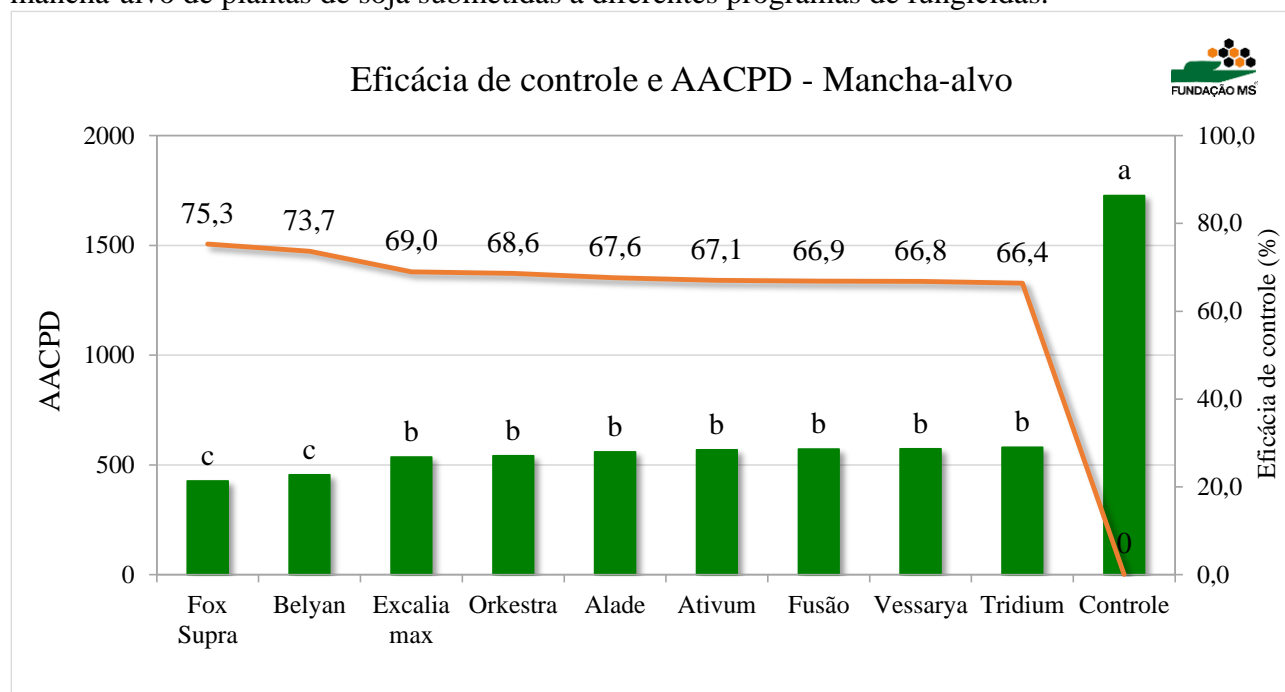
Resultados e discussão

Tabela 4. Severidade (%) de mancha-alvo em plantas de soja tratadas com diferentes fungicidas e área abaixo da curva de progresso da doença (AACPD). Maracaju, MS, 2023.

| N. | Av.1 | Av.2 | Av.3 | Av.4 | Av.5 | Av.6 | Av.7 | Av.8 | Av.9 | AACPD |
|-------------|-------|-------|-------|---------|--------|---------|---------|---------|---------|-----------|
| Controle | 0,0 a | 0,0 a | 4,3 a | 6,7 a | 15,3 a | 35,0 a | 41,7 a | 50,0 a | 63,0 a | 1.727,3 a |
| Ativum | 0,0 a | 0,0 a | 1,9 b | 2,7 d | 3,4 b | 6,0 b | 15,6 b | 20,3 b | 21,2 bc | 569,0 b |
| Fox Supra | 0,0 a | 0,0 a | 2,0 b | 1,1 e | 3,5 b | 2,3 e | 7,1 e | 18,4 d | 18,8 cd | 426,4 c |
| Excalia Max | 0,0 a | 0,0 a | 1,9 b | 2,6 d | 3,5 b | 5,6 bc | 12,5 cd | 20,2 b | 20,7 bc | 535,4 b |
| Alade | 0,0 a | 0,0 a | 2,0 b | 2,8 d | 3,5 b | 3,4 cde | 14,6 bc | 20,4 b | 23,3 b | 559,3 b |
| Vessarya | 0,0 a | 0,0 a | 1,9 b | 3,2 bcd | 3,4 b | 6,6 b | 15,7 b | 20,1 b | 20,8 bc | 573,8 b |
| Tridium | 0,0 a | 0,0 a | 2,0 b | 3,0 cd | 3,5 b | 5,0 bcd | 16,0 b | 20,4 b | 22,6 b | 580,3 b |
| Fusão | 0,0 a | 0,0 a | 2,0 b | 3,7 b | 3,4 b | 7,2 b | 14,7 bc | 19,9 b | 20,7 bc | 572,5 b |
| Belyan | 0,0 a | 0,0 a | 1,9 b | 1,2 e | 3,5 b | 3,0 de | 10,7 d | 19,2 c | 17,2 d | 454,5 c |
| Orkestra | 0,0 a | 0,0 a | 1,9 b | 3,5 bc | 3,5 b | 4,9 bcd | 14,7 bc | 20,1 b | 19,2 cd | 542,2 b |
| Teste F | -- | -- | 72,9 | 51,4 | 127,5 | 173,6 | 139,2 | 1.839,3 | 180,8 | 660,7 |
| CV (%) | -- | -- | 8,1 | 14,0 | 14,2 | 18,6 | 9,7 | 1,9 | 8,1 | 4,5 |

Médias seguidas pela mesma letra minúscula na coluna não diferem estatisticamente entre si pelo teste de Duncan ($p<0,05$). **significativo a 1% de probabilidade. *significativo a 5% de probabilidade. nsnão-significativo. CV: coeficiente de variação.

Figura 6. Área abaixada da curva de progresso da doença (AACPD) e eficácia de controle (%) da mancha-alvo de plantas de soja submetidas a diferentes programas de fungicidas.



Médias seguidas pela mesma letra minúscula na coluna não diferem estatisticamente entre si pelo teste de Duncan ($p<0,05$).

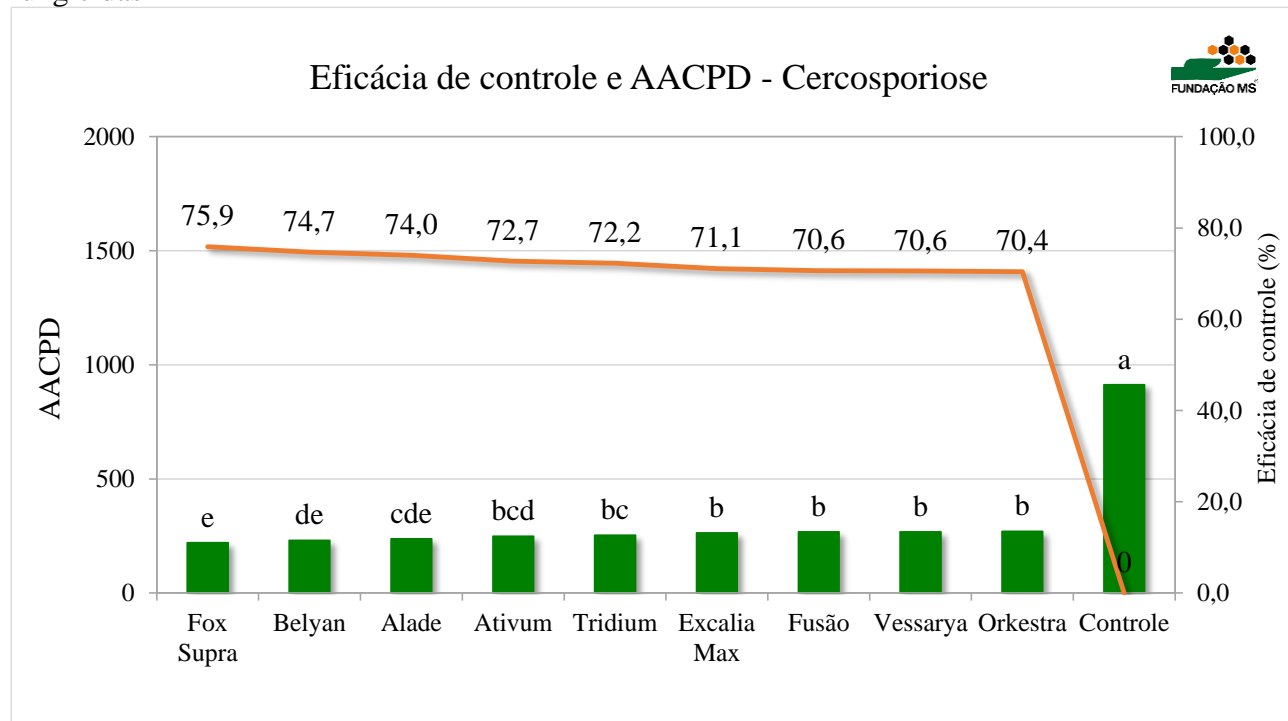
Tabela 5. Severidade (%) do crestamento foliar de cercospora em plantas de soja tratadas com diferentes fungicidas e área abaixo da curva de progresso da doença (AACPD). Maracaju, MS, 2023.

| N. | Av.1 | Av.2 | Av.3 | Av.4 | Av.5 | Av.6 | Av.7 | Av.8 | AACPD |
|---------------------|-------|-------|---------|-------|--------|---------|--------|---------|-----------|
| Controle | 0,0 a | 0,0 a | 4,9 a | 7,8 a | 15,0 a | 26,0 a | 35,5 a | 50,0 a | 1.113,0 a |
| Ativum ¹ | 0,0 a | 0,0 a | 0,0 b | 1,4 b | 6,3 b | 7,9 cd | 8,0 bc | 15,1 bc | 309,6 bcd |
| Fox Supra | 0,0 a | 0,0 a | 0,0 b | 1,4 b | 6,5 b | 7,5 d | 6,6 c | 11,3 d | 265,4 e |
| Excalia Max | 0,0 a | 0,0 a | 0,0 b | 1,4 b | 6,4 b | 7,9 cd | 8,4 bc | 17,8 b | 335,1 b |
| Alade | 0,0 a | 0,0 a | 0,0 b | 1,3 b | 6,5 b | 8,0 c | 6,9 bc | 13,9 cd | 293,1 cde |
| Vessarya | 0,0 a | 0,0 a | 0,0 b | 1,3 b | 6,6 b | 8,2 bc | 9,4 b | 16,3 bc | 334,0 b |
| Tridium | 0,0 a | 0,0 a | 0,0 b | 1,4 b | 6,4 b | 8,2 bc | 7,4 bc | 16,6 bc | 319,7 bc |
| Fusão | 0,0 a | 0,0 a | 0,0 b | 1,5 b | 6,5 b | 8,4 bc | 9,1 bc | 16,1 bc | 332,4 b |
| Belyan | 0,0 a | 0,0 a | 0,0 b | 1,3 b | 6,5 b | 7,5 d | 7,5 bc | 12,2 d | 279,9 de |
| Orkestra | 0,0 a | 0,0 a | 0,0 b | 1,3 b | 6,6 b | 8,6 b | 9,0 bc | 16,8 bc | 337,2 b |
| Teste F | -- | -- | 1.521,0 | 596,9 | 215,9 | 1.279,1 | 124,1 | 144,3 | 489,9 |
| CV (%) | -- | -- | 16,2 | 8,3 | 5,0 | 3,2 | 14,6 | 10,0 | 5,9 |

¹Todos os tratamentos, exceto o Tridium, foram realizados a aplicação com mancozebe (Unizeb Gold).

²Médias seguidas pela mesma letra minúscula na coluna não diferem estatisticamente entre si pelo teste de Duncan ($p<0,05$). **significativo a 1% de probabilidade. *significativo a 5% de probabilidade. nsnão-significativo. CV: coeficiente de variação.

Figura 7. Área abaixo da curva de progresso da doença (AACPD) e eficácia de controle (%) do crestamento foliar de cercospora em plantas de soja submetidas a diferentes programas de fungicidas



Médias seguidas pela mesma letra minúscula na coluna não diferem estatisticamente entre si pelo teste de Duncan ($p<0,05$).

Tabela 6. Fitotoxicidade em plantas de soja tratadas com diferentes fungicidas em três avaliações realizadas sete dias após cada aplicação. Maracaju, MS, 2023.

| N. | 7 DAA1 ¹ | 14 DAA1 | 7 DAA2 | 14 DAA2 | 7 DAA3 | 14 DAA3 | 7 DAA4 | 14 DAA4 |
|-------------|---------------------|---------|--------|---------|--------|---------|--------|---------|
| Controle | 0,0 | 0,0 | 0,0 b | 0,0 d | 0,0 | 0,0 | 0,0 | 0,0 |
| Ativum | 0,0 | 0,0 | 0,3 ab | 0,2 cd | 0,0 | 0,0 | 0,0 | 0,0 |
| Fox Supra | 0,0 | 0,0 | 0,7 ab | 1,8 a | 0,0 | 0,0 | 0,0 | 0,0 |
| Excalia Max | 0,0 | 0,0 | 0,4 ab | 1,1 b | 0,0 | 0,0 | 0,0 | 0,0 |
| Alade | 0,0 | 0,0 | 0,0 b | 0,5 cd | 0,0 | 0,0 | 0,0 | 0,0 |
| Vessarya | 0,0 | 0,0 | 1,0 a | 0,4 cd | 0,0 | 0,0 | 0,0 | 0,0 |
| Tridium | 0,0 | 0,0 | 0,0 b | 1,2 b | 0,0 | 0,0 | 0,0 | 0,0 |
| Fusão | 0,0 | 0,0 | 1,0 b | 2,3 a | 0,0 | 0,0 | 0,0 | 0,0 |
| Belyan | 0,0 | 0,0 | 0,4 ab | 0,7 bc | 0,0 | 0,0 | 0,0 | 0,0 |
| Orkestra | 0,0 | 0,0 | 0,4 ab | 0,2 cd | 0,0 | 0,0 | 0,0 | 0,0 |
| Teste F | -- | -- | 1,6 | 19,3 | -- | -- | -- | -- |
| CV (%) | -- | -- | 144,9 | 41,2 | -- | -- | -- | -- |

Médias seguidas pela mesma letra minúscula na coluna não diferem estatisticamente entre si pelo teste de Duncan ($p<0,05$). **significativo a 1% de probabilidade. *significativo a 5% de probabilidade. nsnão-significativo. CV: coeficiente de variação. ¹DAA: Dias após a aplicação.

Tabela 7. Desfolha (%), rendimento de grãos ($sc\ ha^{-1}$), incremento relativo de produtividade (%), massa de mil grãos (MMG) (g) e incremento relativo da massa de mil grãos de plantas de soja tratadas com diferentes fungicidas para o controle de mancha-alvo e doenças de final de ciclo. Maracaju, MS, 2023.

| N. | Desfolha (%) | Rendimento de grãos ($sc\ ha^{-1}$) | Incremento (%) | MMG (g) | Incremento da MMG (%) |
|-------------|--------------|---------------------------------------|----------------|---------|-----------------------|
| Controle | 75,3 a | 69,1 b | -- | 156,7 a | -- |
| Ativum | 47,0 b | 73,2 ab | 5,9 | 161,4 a | 3,00 |
| Fox Supra | 53,3 b | 77,4 a | 12,0 | 162,2 a | 3,51 |
| Excalia Max | 50,3 b | 70,7 b | 2,4 | 162,2 a | 3,51 |
| Alade | 53,0 b | 73,3 ab | 6,2 | 156,8 a | 0,06 |
| Vessarya | 48,7 b | 70,8 b | 2,4 | 163,8 a | 4,53 |
| Tridium | 52,0 b | 74,4 ab | 7,7 | 164,1 a | 4,72 |
| Fusão | 45,7 b | 72,5 ab | 5,0 | 161,6 a | 3,13 |
| Belyan | 45,3 b | 71,5 b | 3,4 | 161,6 a | 3,13 |
| Orkestra | 46,7 b | 73,1 ab | 5,8 | 162,7 a | 3,83 |
| Teste F | 13,7 | 1,9 | -- | 0,7 | -- |
| CV (%) | 8,0 | 4,6 | -- | 3,9 | -- |

Médias seguidas pela mesma letra minúscula na coluna não diferem estatisticamente entre si pelo teste de Duncan ($p<0,05$). **significativo a 1% de probabilidade. *significativo a 5% de probabilidade. nsnão-significativo. CV: coeficiente de variação.

Conclusões

Nas condições em que o ensaio foi conduzido, os fungicidas Fox Supra, Excalia Max, Tridium e Fusão apresentaram sintomas leves a medianamente leves de fitotoxicidade.

Os fungicidas Belyan (73,7%) e Fox Supra (75,3%) apresentaram maior eficácia de controle da mancha-alvo, diferindo significativamente dos demais tratamentos, quando utilizado na segunda aplicação (estádio R1 + 15 dias).

No controle do crescimento foliar de cercospora, verificou-se tendência semelhante ao controle da mancha-alvo, o qual os fungicidas Fox Supra (75,9%) e Belyan (74,7%) proporcionaram maior eficácia de controle.

Todos os tratamentos diferiram significativamente do controle no parâmetro desfolha, no entanto, não houve diferenças significativas entre os tratamentos.

O tratamento com Fox Supra ($77,4 \text{ sc ha}^{-1}$) apresentou maior rendimento de grãos, diferindo significativamente do controle, proporcionando 12% de incremento relativo de produtividade.

Não houve diferenças significativas entre a massa de mil grãos entre os tratamentos avaliados.

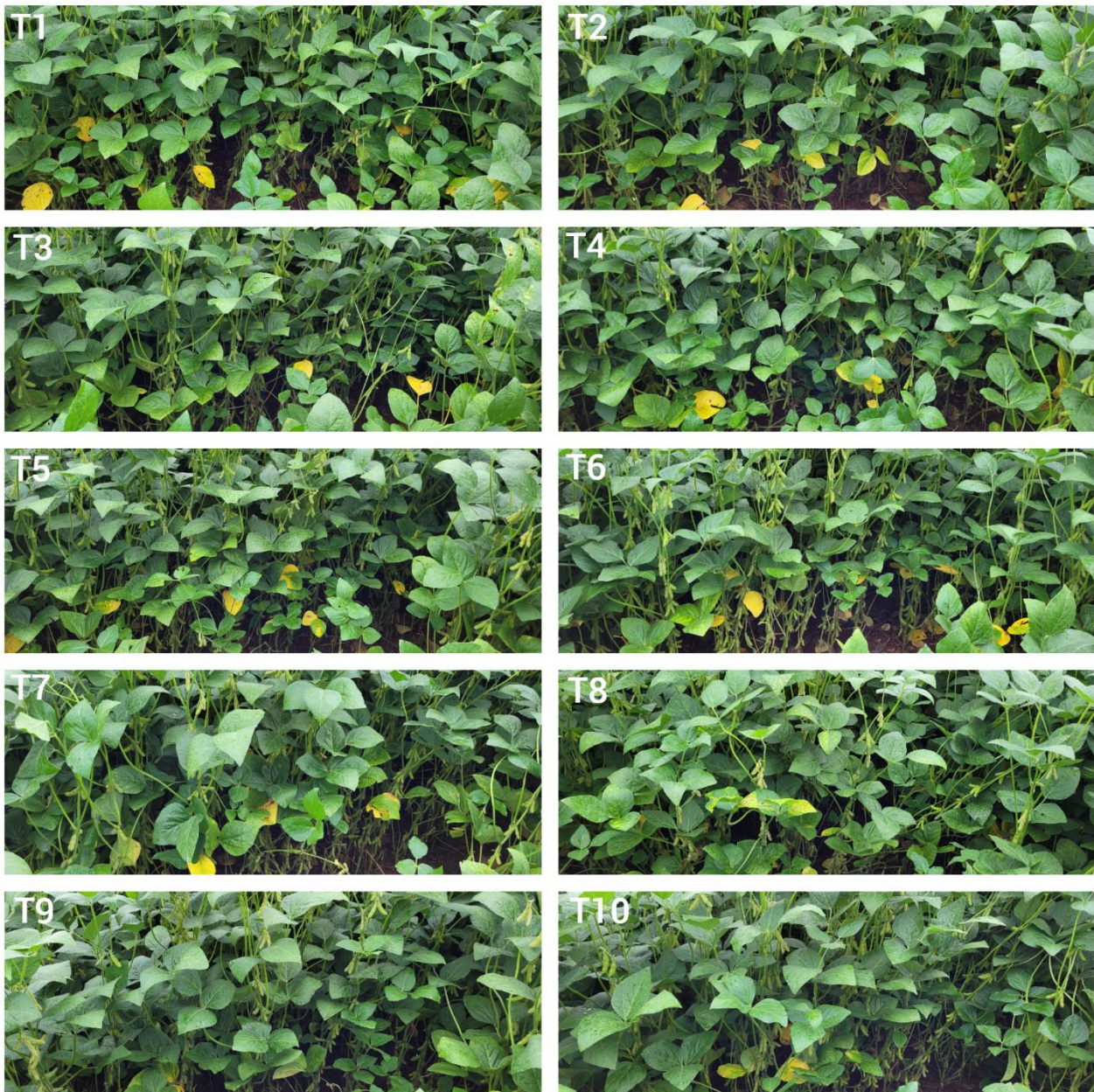
Imagens

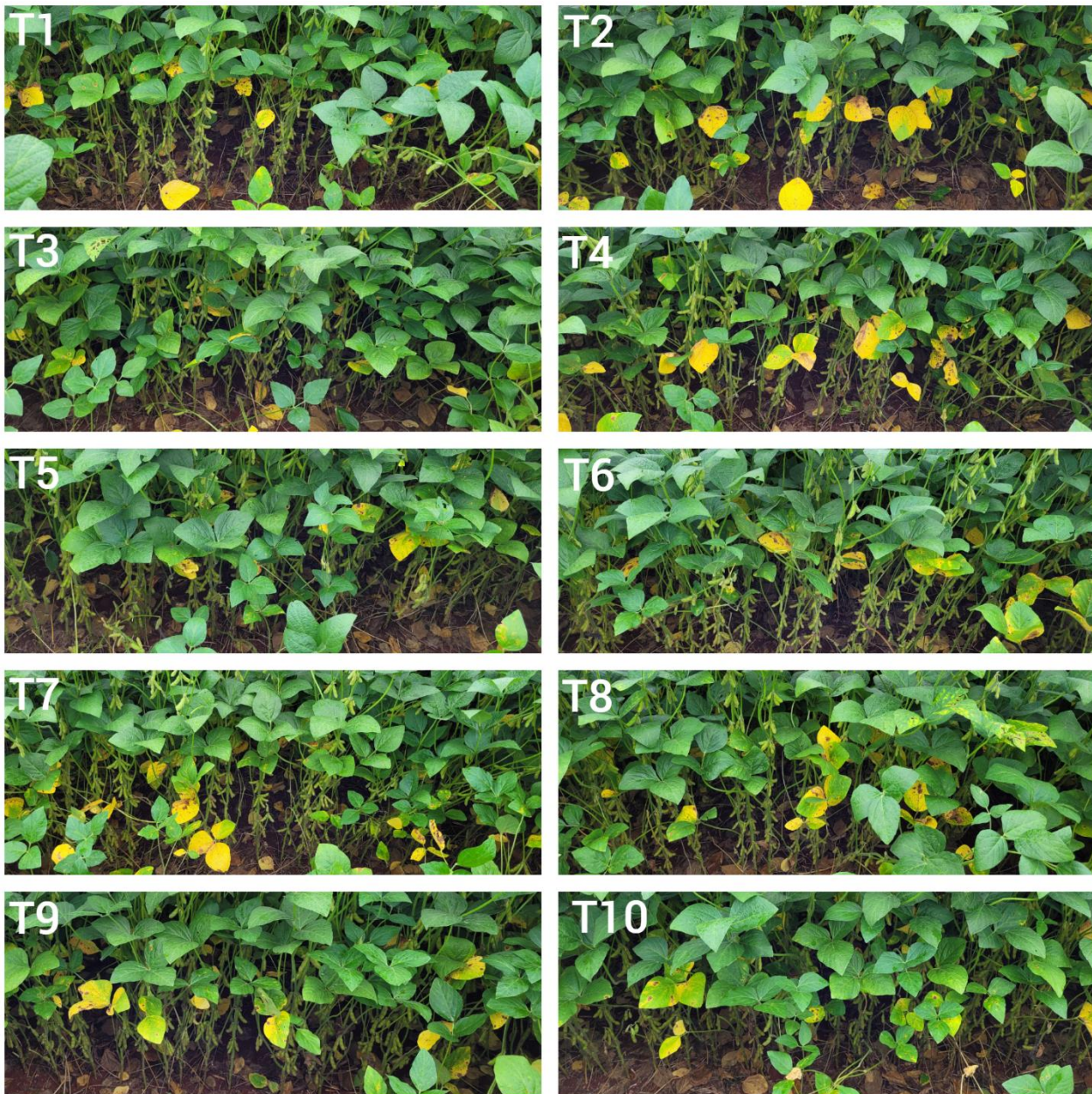
Figura 8. Imagem dos tratamentos de 1 a 10.

Imagens



Figura 9. Imagem dos tratamentos de 1 ao 10.





Referências bibliográficas

ABBOTT, W.S. A method of computing the effectiveness of an insecticide. *Journal of Economic Entomology*, v.18, p.265-267, 1925.

BELINELLI, E. O. et al. Geração de malha para descrever a dispersão da ferrugem da soja no Paraná. *Ciências Exatas e da Terra: Conhecimentos Estratégicos para o Desenvolvimento do País*. Ponta Grossa: Atena Editora, p. 225-239, 2020.

BENDER, D. L., et al. Eficiência de fungicidas no controle do fungo *Phakopsora pachyrhizi* na cultivar de soja ativa RR. *CIÊNCIA & TECNOLOGIA*, v. 3, n. 2, p. 38-46, 2019.

BOFF, P.; ZAMBOLIM, L.; VALE, F.X.R. Escalas para avaliação de severidade de mancha-de-estenfílio (*Stemphylium solani*) e da pinta preta (*Alternaria solani*) em tomateiro. Fitopatologia Brasileira, v.16, n.1, p.280-283, 1991.

CAMPBELL, C.L.; MADDEN, L.V. Introduction to plant disease epidemiology. New York: John Wiley & Sons, 1990. 532p.

CONAB. Companhia Nacional de Abastecimento. 12º Levantamento da Safra de Grãos 2022/23.

HENNING, A. A. et al. Manual de identificação de doenças de soja. 5.ed. Londrina: Embrapa Soja, 2014. 76 p. (Documentos / Embrapa Soja, ISSN 1516-781X; n. 256).

KAJIHARA, L. H. et al. Ação in vitro e in vivo de fungicida sistêmico e multissítio sobre *Phakopsora pachyrhizi*. Summa Phytopathologica, v. 47, p. 216-221, 2022.

KRANZ, J. Measuring plant disease. In KRANZ, J.; ROTEM, J. (Eds.) Experimental techniques in plant disease epidemiology, p.35-50. Heldorfberg: Springer-Verlag, 1988. 299p.

LEMES, E. M. et al. Doenças da soja: melhoramento genético e técnicas de manejo. 1. Ed. Campinas: Millennium Editora, 2015. 363 p.

MARTINS, Mônica C. et al. Escala diagramática para a quantificação do complexo de doenças foliares de final de ciclo em soja. Fitopatologia Brasileira, v. 29, p. 179-184, 2004.

PAULA, R.S.; OLIVEIRA, W.R. Resistência de tomateiro (*Lycopersicon esculentum*) ao patógeno *Alternaria solani*. Pesquisa Agropecuária Tropical, v.33, n.2, p.89-95, 2003.

SOARES, R.M.; GODOY, C.V.; OLIVEIRA, M.C.N. Escala diagramática para avaliação da severidade da mancha alvo da soja. Tropical Plant Pathology, v.34, n.5, p.333-338, 2009.

SOSA-GÓMEZ, D. R.; CORRÊA-FERREIRA, B. S.; HOFFMANN-CAMPO, C. B.; CORSO, I. C.; OLIVEIRA, L. J.; MOSCARDI, F.; PANIZZI, A. R.; BUENO, A. F.; HIROSE, E.; ROGGIA, S. Manual de identificação de insetos e outros invertebrados da cultura da soja. 3. ed. Londrina: Embrapa Soja, 2014.